

# СУБВОЛНОВЫЕ ПРОСТРАНСТВЕННЫЕ СОЛИТОНЫ В НЕОДНОРОДНЫХ КУБИЧНО-НЕЛИНЕЙНЫХ СРЕДАХ

*В. А. Алешкевич<sup>a</sup>, А. В. Григорьев<sup>a</sup>, А. С. Жукарев<sup>a</sup>, Я. В. Карташов<sup>b\*</sup>*

*<sup>a</sup>Московский государственный университет им. М. В. Ломоносова  
119899, Москва, Россия*

*<sup>b</sup>ICFO-Institut de Ciències Fòniques, Mediterranean Technology Park, and Universitat Politècnica de Catalunya  
08860, Castelldefels, Barcelona, Spain*

Поступила в редакцию 25 декабря 2007 г.

Проведено исследование распространения узких волновых пучков в кубично-нелинейной среде с периодической пространственной модуляцией показателя преломления при произвольном соотношении ширины пучка, периода модуляции и длины световой волны. Из уравнений Максвелла получены решения, описывающие распространение световых пучков в виде пространственных солитонов и установлены их основные свойства. Проведено сравнение полученных результатов с выводами, вытекающими из решения параксиального нелинейного уравнения Шредингера и определены условия, при которых оба подхода неадекватны друг другу.

PACS: 42.65.Tg

## 1. ВВЕДЕНИЕ

Одним из наиболее эффективных приближений, используемых при анализе распространения интенсивного лазерного излучения в нелинейной среде, является параксиальное приближение (см. монографии [1–4] и ссылки в них). Оно позволяет вывести скалярное нелинейное уравнение Шредингера, описывающее эволюцию световых пучков, ширина которых существенно превосходит длину волны излучения. Данное уравнение, в частности, допускает солитонные решения, описывающие распространение пучков при взаимной компенсации дифракционного расплывания и нелинейного самовоздействия.

Однако когда ширина пучка становится сравнимой с длиной волны, параксиальное приближение становится некорректным. В частности, теория самофокусировки на основе уравнения Шредингера предсказывает коллапс излучения, что не находит убедительного экспериментального подтверждения.

Для анализа распространения непараксиальных световых пучков в нелинейной среде авторами работ [5–7] в скалярное уравнение Шредингера добавлялись несколько членов, описывающих малые непараксиальные поправки, связанные с дифракцией и нелинейностями высших порядков.

Однако наиболее последовательный и корректный анализ такой задачи может быть проведен лишь на основе решения системы уравнений Максвелла с учетом векторного взаимодействия между поперечной и продольной компонентами светового поля. Последняя в случае непараксиальных пучков уже не является пренебрежимо малой [8–14].

В цитируемых работах рассматривались лишь непараксиальные световые пучки в однородной нелинейной среде. В связи с широким использованием в современной оптике решеток показателя преломления, фотонных кристаллов и пр. становится актуальной задача исследования распространения световых пучков в средах с пространственной модуляцией показателя преломления. Хорошо известно, что уже в линейной неоднородной среде необходим учет продольной компоненты светового поля, если масштаб неоднородности становится сравнимым с длиной световой волны. Ситуация значительно усложняется в нелинейной среде, в которой одновременно происходит как линейная, так и нелинейная рефракция.

В цитируемых работах рассматривались лишь непараксиальные световые пучки в однородной нелинейной среде. В связи с широким использованием в современной оптике решеток показателя преломления, фотонных кристаллов и пр. становится актуальной задача исследования распространения световых пучков в средах с пространственной модуляцией показателя преломления. Хорошо известно, что уже в линейной неоднородной среде необходим учет продольной компоненты светового поля, если масштаб неоднородности становится сравнимым с длиной световой волны. Ситуация значительно усложняется в нелинейной среде, в которой одновременно происходит как линейная, так и нелинейная рефракция.

\*E-mail: Yaroslav.Kartashov@icfo.es

## 2. ПОСТАНОВКА ЗАДАЧИ

Для решения поставленной задачи воспользуемся системой уравнений Максвелла

$$\begin{aligned} \operatorname{rot} \mathbf{E} &= -\frac{1}{c} \frac{\partial \mathbf{H}}{\partial t}, \quad \operatorname{div} \mathbf{D} = 0, \\ \operatorname{rot} \mathbf{H} &= \frac{1}{c} \frac{\partial \mathbf{D}}{\partial t}, \quad \operatorname{div} \mathbf{H} = 0, \end{aligned} \quad (1)$$

которая дополняется материальным уравнением

$$\mathbf{D} = (\varepsilon_0 + \varepsilon_{nl+mod}) \mathbf{E},$$

где  $\varepsilon_0$  описывает пространственно-однородную часть диэлектрической проницаемости изотропной среды, а  $\varepsilon_{nl+mod}$  учитывает как кубичную нелинейность керровского типа, так и модуляцию линейного показателя преломления среды.

Уравнение  $\operatorname{div} \mathbf{D} = 0$  может быть записано в виде

$$\operatorname{div} \mathbf{E} = -\frac{1}{\varepsilon_0} \operatorname{div}(\varepsilon_{nl+mod} \mathbf{E}). \quad (2)$$

Комбинируя это уравнение с уравнением

$$\operatorname{rot} \operatorname{rot} \mathbf{E} = -(1/c^2) \partial^2 \mathbf{D} / \partial t^2,$$

следующим из системы уравнений Максвелла, и полагая, что электрическое поле изменяется во времени по гармоническому закону  $\mathbf{E} \sim \mathbf{A} \exp(-i\omega t)$ , приходим к модифицированному волновому уравнению:

$$\begin{aligned} -\frac{1}{\varepsilon_0} \operatorname{grad} \operatorname{div}(\varepsilon_{nl+mod} \mathbf{A}) - \Delta \mathbf{A} &= \\ &= \frac{\omega^2}{c^2} (\varepsilon_0 + \varepsilon_{nl+mod}) \mathbf{A}. \end{aligned} \quad (3)$$

Здесь  $\Delta = \partial^2/\partial x^2 + \partial^2/\partial y^2 + \partial^2/\partial z^2$  — полный трехмерный лапласиан. В дальнейшем мы предполагаем, что световой пучок распространяется в направлении оси  $z$ , а напряженность электрического поля зависит лишь от одной поперечной координаты  $x$ , вдоль которой осуществлена периодическая модуляция диэлектрической проницаемости. Тогда, представив вектор напряженности светового поля в виде

$$\mathbf{A} = \mathbf{e}_x A_x(x, z) + \mathbf{e}_z A_z(x, z),$$

где  $\mathbf{e}_x, \mathbf{e}_z$  — единичные векторы вдоль соответствующих осей,  $A_{x,z}$  — соответствующие компоненты амплитуды светового поля, и подставив в уравнение (3), получим систему уравнений:

$$\begin{aligned} & -\frac{1}{\varepsilon_0} \left[ \frac{\partial^2}{\partial x^2} (\varepsilon_{nl+mod} A_x) + \right. \\ & \left. + \frac{\partial^2}{\partial x \partial z} (\varepsilon_{nl+mod} A_z) \right] - \Delta A_x = \\ & = \frac{\omega^2}{c^2} (\varepsilon_0 A_x + \varepsilon_{nl+mod} A_x), \\ & -\frac{1}{\varepsilon_0} \left[ \frac{\partial^2}{\partial x \partial z} (\varepsilon_{nl+mod} A_x) + \right. \\ & \left. + \frac{\partial^2}{\partial z^2} (\varepsilon_{nl+mod} A_z) \right] - \Delta A_z = \\ & = \frac{\omega^2}{c^2} (\varepsilon_0 A_z + \varepsilon_{nl+mod} A_z), \end{aligned} \quad (4)$$

где

$$\varepsilon_{nl+mod} = \varepsilon_2 (|A_x|^2 + |A_z|^2) + \varepsilon_{mod} R(x),$$

$\varepsilon_2$  — нелинейный коэффициент,  $\varepsilon_{mod}$  — глубина модуляции диэлектрической проницаемости, функция  $R(x) = \cos(2\pi x/d) = \cos(\Omega_0 x)$ ,  $d$  и  $\Omega_0$  — соответственно период и частота пространственной модуляции. Надо отметить, что используемое нами выражение для нелинейной добавки к диэлектрической проницаемости изотропной среды оправдано, если вектор напряженности электрического поля не изменяет направление (в общем случае необходим учет нелинейных поляризационных эффектов).

Данную систему уравнений удобно переписать в безразмерном виде:

$$\begin{aligned} & -\left\{ \frac{\partial^2}{\partial \eta^2} [pRq_x + \sigma q_x (|q_x|^2 + |q_z|^2)] + \right. \\ & \left. + \delta \frac{\partial^2}{\partial \eta \partial \xi} [pRq_z + \sigma q_z (|q_x|^2 + |q_z|^2)] \right\} = \\ & = \frac{\partial^2 q_x}{\partial \eta^2} + \delta^2 \frac{\partial^2 q_x}{\partial \xi^2} + \frac{1}{\delta^2} q_x + \\ & + \frac{1}{\delta^2} [pRq_x + \sigma q_x (|q_x|^2 + |q_z|^2)], \\ & -\left\{ \delta \frac{\partial^2}{\partial \eta \partial \xi} [pRq_x + \sigma q_x (|q_x|^2 + |q_z|^2)] + \right. \\ & \left. + \delta^2 \frac{\partial^2}{\partial \xi^2} [pRq_z + \sigma q_z (|q_x|^2 + |q_z|^2)] \right\} = \\ & = \frac{\partial^2 q_z}{\partial \eta^2} + \delta^2 \frac{\partial^2 q_z}{\partial \xi^2} + \frac{1}{\delta^2} q_z + \\ & + \frac{1}{\delta^2} [pRq_z + \sigma q_z (|q_x|^2 + |q_z|^2)]. \end{aligned} \quad (5)$$

Здесь поперечная координата  $\eta = x/x_0$  нормирована на характерную ширину  $x_0$ ; продольная координата  $\xi = z/L_{dif}$  нормирована на соответствующую дифракционную длину  $L_{dif} = k_0 x_0^2$ ;  $k_0 = \omega \varepsilon_0^{1/2} / c$  —

волновое число;  $\delta = 1/k_0x_0$  — параметр непараксиальности, который характеризует соотношение длины волны и ширины  $x_0$ ;  $q_{x,z} = A_{x,z}A_0^{-1}$  — компоненты безразмерной амплитуды светового поля;  $A_0$  — характерная амплитуда светового поля; параметр  $\sigma = \varepsilon_2A_0^2/\varepsilon_0$  определяет степень нелинейности отклика среды;  $p = \varepsilon_{mod}/\varepsilon_0$  — параметр, характеризующий глубину модуляции показателя преломления;  $R(\eta) = \cos(\Omega\eta)$ , где  $\Omega = \Omega_0x_0$  — безразмерная пространственная частота.

Как показывают оценки, аналогичные проведенным в работах [8–14], в однородной среде или в случае большого периода модуляции ( $d \gg x_0$ ) величина продольной компоненты поля

$$q_z \approx \frac{i}{k_0} \frac{\partial q_x}{\partial x} \quad (6)$$

или, что эквивалентно,  $q_z/q_x \sim \delta$ .

В среде с пространственной модуляцией диэлектрической проницаемости, когда  $d \leq x_0$ , оценка (6) становится некорректной. Действительно, в случае поляризованной в плоскости  $xz$  плоской волны из уравнения  $\text{div} \mathbf{D} = 0$  получается оценка  $\partial A_x/\partial x \sim A_x \varepsilon_{mod}/\varepsilon_0 d$ . При ее подстановке в (6) получаем  $q_z/q_x \sim \varepsilon_{mod}\lambda/2\pi\varepsilon_0 d$ .

С другой стороны, появление продольной компоненты поля связано с наличием в уравнении (3) первого слагаемого в левой части, которое в среде с модуляцией диэлектрической проницаемости по порядку величины в  $\lambda\varepsilon_{mod}/\varepsilon_0 d$  раз больше второго. Соответственно, и  $q_z/q_x \sim \varepsilon_{mod}\lambda/\varepsilon_0 d$ , что отличается множителем  $1/2\pi$  от оценки (6).

В общем случае пучка произвольной ширины и среды с произвольным периодом модуляции диэлектрической проницаемости для продольной компоненты светового поля справедлива обобщенная оценка

$$\frac{q_z}{q_x} \sim \max\left(\frac{\lambda\varepsilon_{mod}}{\varepsilon_0 d}, \frac{\lambda}{2\pi x_0}\right) = \max(\Omega\delta p, \delta). \quad (7)$$

### 3. ОСНОВНЫЕ РЕЗУЛЬТАТЫ

Будем искать решение системы уравнений (5) в виде

$$\begin{aligned} q_x(\eta, \xi) &= w_x(\eta) \exp[i(1+b)\xi/\delta^2], \\ q_z(\eta, \xi) &= iw_z(\eta) \exp[i(1+b)\xi/\delta^2], \end{aligned} \quad (8)$$

где  $w_{x,z}$  — действительные функции, описывающие поперечные распределения светового поля,  $b$  — постоянная распространения, характеризующая нелинейный фазовый набег, приобретаемый световым

пучком при распространении в среде. Фазовый сдвиг, равный  $\pi/2$ , между компонентами  $q_x$  и  $q_z$  согласуется с оценочным выражением (6), полученным в параксиальном приближении. Из оценки (6) следует, что для симметричного профиля  $x$ -компоненты поля профиль  $z$ -компоненты будет антисимметричным.

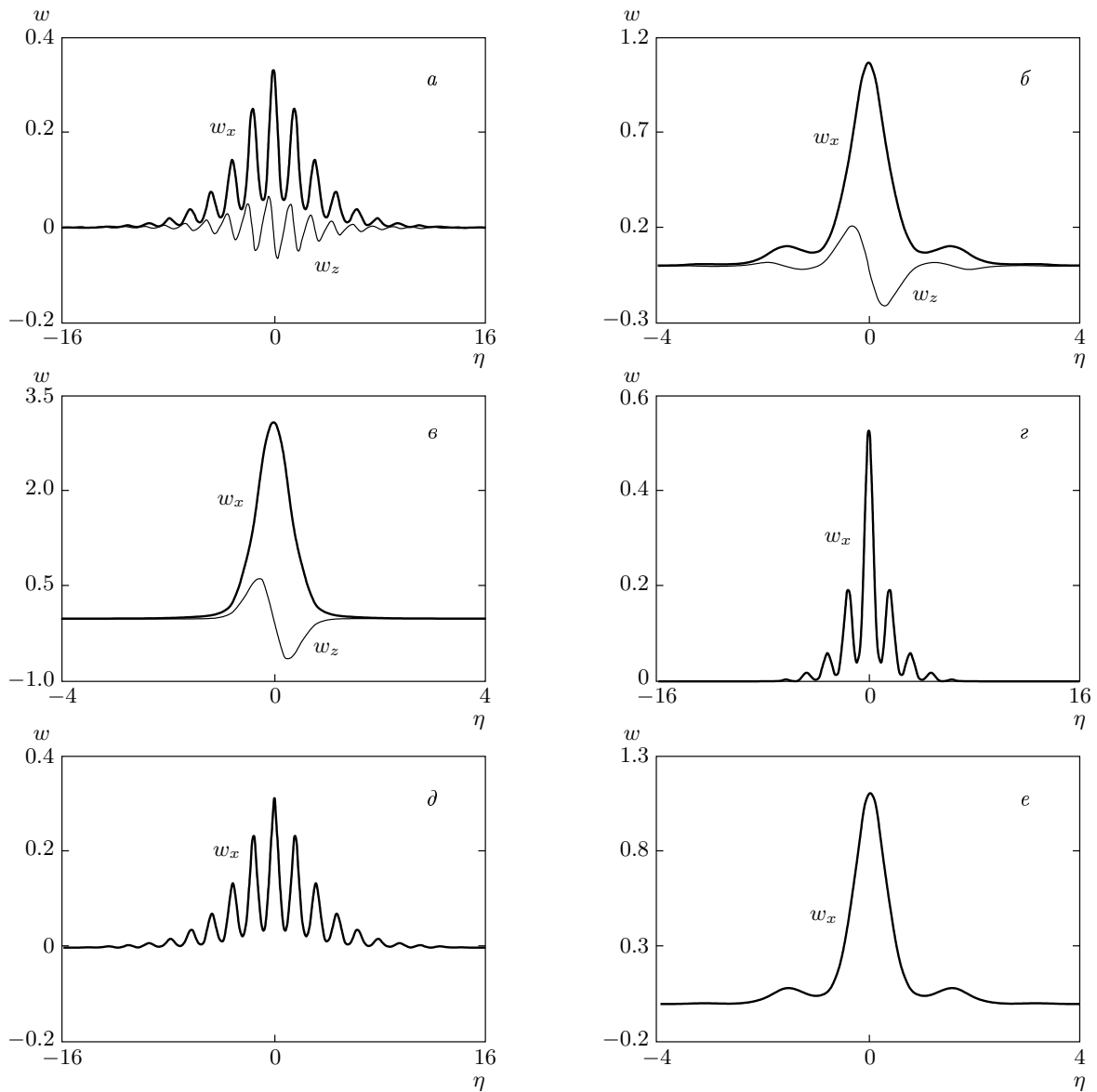
Профили непараксиальных солитонов определялись численно, с помощью метода релаксации. Параметр нелинейности положим равным  $\sigma = 0.01$ . Последние исследования показали, что некоторые из материалов позволяют достичь значительно больших нелинейных добавок к диэлектрической проницаемости, вплоть до  $\sigma = \varepsilon_2A_0^2/\varepsilon_0 = 0.1$  [15, 16]. В процессе вычислений варьировались параметры  $\delta$ ,  $p$ ,  $\Omega$ ,  $b$ .

Характерные профили фундаментальных непараксиальных решеточных солитонов (в среде с решеткой показателя преломления) представлены на рис. 1а–в. Видно, что поперечная компонента поля является симметричной, в то время как продольная компонента всегда антисимметрична относительно оси пучка.

В том случае, когда постоянная распространения, уменьшаясь, приближается к определенной отсечке (эта отсечка зависит только от частоты решетки, ее профиля, и глубины), солитон становится очень широким, и его профиль приобретает множественные осцилляции (рис. 1а). Положение каждого из локальных максимумов поперечной компоненты поля приблизительно совпадает с положениями локальных максимумов решетки показателя преломления, в то время как продольная компонента поля, как правило, обращается в нуль в этой точке.

Наоборот, увеличение постоянной распространения приводит к пространственной локализации обеих компонент светового поля (рис. 1б), и затем поле практически полностью концентрируется в одном канале решетки (рис. 1в), так что пространственные осцилляции профиля становятся неразличимыми. Амплитуда продольной компоненты поля существенно возрастает, а ширина солитона уменьшается. В последнем случае (рис. 1в) нелинейные эффекты доминируют над «решеточными», поэтому решеточный солитон становится похожим на непараксиальный солитон в однородной среде.

Для сравнения на рис. 2 показаны профили непараксиальных солитонов в однородной среде при том же значении параметра непараксиальности  $\delta$ , что и на рис. 1. Широкий солитон (рис. 2а) имеет весьма малую продольную компоненту поля, а его профиль



**Рис. 1.** Профили непараксиальных решеточных солитонов при  $b = 0.0368$  (а),  $0.04$  (б),  $0.07$  (в). Профили параксиальных солитонов при  $b = 0.0436$  (z),  $0.04325$  (д),  $0.0469$  (е). Солитон с рис. z имеет такую же мощность, как солитон с рис. а, в то время как солитон с рис. д имеет такую же ширину, как солитон с рис. а. Солитон с рис. е имеет такую же мощность, как непараксиальный солитон с рис. б. Параметр непараксиальности  $\delta = 0.1$ , глубина решетки  $p = 0.2$ , частота решетки  $\Omega = 4$

хорошо описывается  $\text{sech}$ -функцией, как и для параксиального солитона.

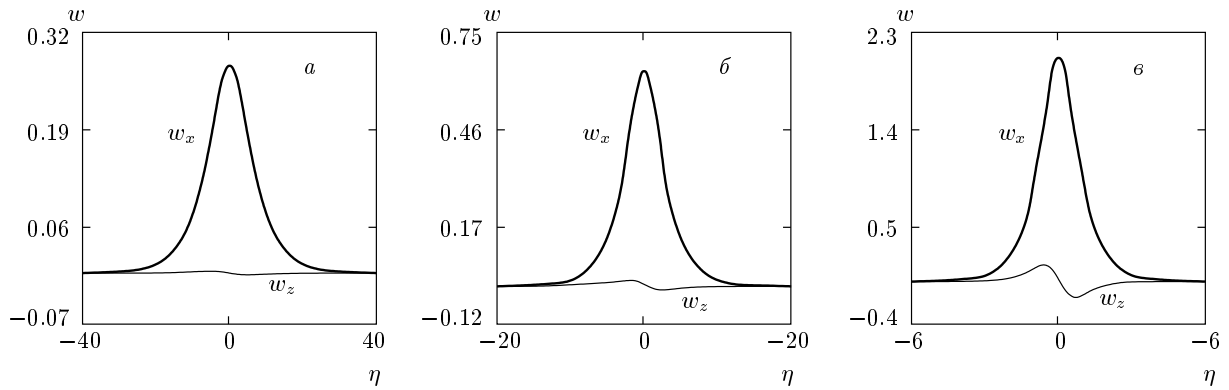
Из сравнения профилей солитонов на рис. 1, 2 можно сделать два важных вывода. Во-первых, наличие сильной периодической решетки показателя преломления приводит к значительному уменьшению интегральной ширины солитона, определяемой как

$$W = \left( U^{-1} \int_{-\infty}^{\infty} \eta^2 (w_x^2 + w_z^2) d\eta \right)^{1/2}, \quad (9)$$

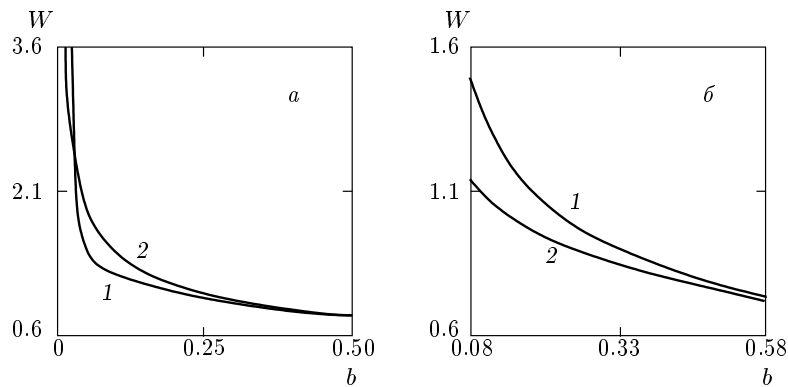
где

$$U = U_x + U_z = \int_{-\infty}^{\infty} (w_x^2 + w_z^2) d\eta \quad (10)$$

— мощность пучка. Это становится особенно за-



**Рис. 2.** Профили непараксиальных солитонов в однородной нелинейной среде, соответствующие  $b = 0.00019$  (а),  $0.001$  (б),  $0.01107$  (в) при  $\delta = 0.1$ . Солитоны, изображенные на рис. а и в, соответствуют тем же значениям мощности, что и решеточные солитоны, изображенные на рис. 1б и 1в. Солитон, показанный на рис. б, имеет такую же ширину, как решеточный солитон, показанный на рис. 1а



**Рис. 3.** Интегральная ширина солитона как функция постоянной распространения при следующих значениях: а —  $p = 0.2$ ,  $\Omega = 2$  (1),  $16$  (2), б —  $\Omega = 4$ ,  $p = 0.2$  (1),  $0.8$  (2). Во всех случаях  $\delta = 0.3$

метным при сравнении профилей солитонов, соответствующих одинаковым значениям мощности  $U$ . Сравнение, например, рис. 1б и рис. 2а при  $U = 0.783$  или рис. 1в и рис. 2в при  $U = 6.098$  показывает, что в обоих случаях ширина солитона при наличии решетки оказывается намного меньше ширины солитона с той же мощностью в однородной среде. Во-вторых, решеточный солитон, показанный на рис. 1а, обладает существенно большей продольной компонентой поля, чем его аналог с такой же шириной в однородной нелинейной среде, изображенный на рис. 2б. Все это указывает на то, что условия каналирования энергии в средах с пространственной модуляцией показателя преломления оказываются предпочтительнее, чем в однородных средах.

Необходимо отметить, что для низкоамплитудных солитонов, накрывающих много периодов ре-

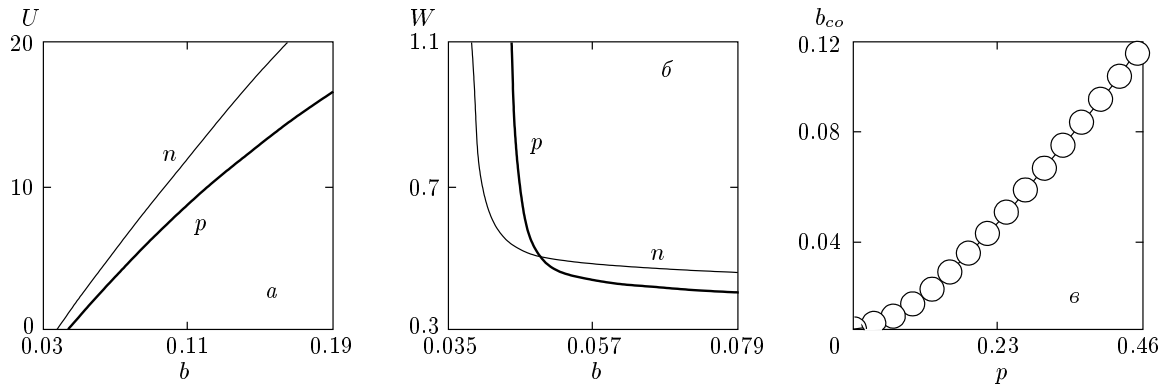
шетки, появление продольной компоненты обусловлено главным образом наличием решетки. В этом случае, согласно (7),

$$q_z/q_x \sim \Omega \delta p. \tag{11}$$

Наоборот, при высоких мощностях появление продольной компоненты поля в основном связано с общей сильной нелинейной локализацией светового пучка в единственном канале решетки. Поскольку в нем безразмерная ширина пучка  $W < 1$ , имеем

$$q_z/q_x \sim \lambda/2\pi W x_0 > \delta. \tag{12}$$

На рис. 3 показаны зависимости ширины солитона от постоянной распространения. Хорошо видно, что с увеличением  $b$  (а, значит, и мощности  $U$ ) ширина пучка, уменьшаясь, стремится к определенно-



**Рис. 4.** Мощность (а) и интегральная ширина (б) солитона как функции постоянной распространения при  $p = 0.2$ ,  $\delta = 0.1$ . Кривые, помеченные символом «р», получены в параксиальном приближении с помощью скалярного уравнения Шредингера; кривые, помеченные «n», вычислены с помощью системы непараксиальных уравнений (5). в — Отсечка по постоянной распространения как функция глубины решетки при  $\delta = 0.1$ . Во всех случаях частота решетки  $\Omega = 4$

му пределу, который слабо зависит как от пространственной частоты  $\Omega$  (рис. 3а), так и от глубины модуляции показателя преломления  $p$  (рис. 3б). Это связано с тем, что при больших мощностях нелинейная рефракция доминирует над линейной и пространственная решетка оказывает слабое влияние на формирование солитона. При  $\delta = 0.3$  характерная ширина  $x_0 \approx \lambda/2$  ( $\lambda$  — длина волны в среде). С ростом постоянной распространения ширина солитона стремится к величине  $W_{min} = 1/2$ , что приблизительно соответствует четверти длины волны, согласно результатам, полученным в работе [10] для однородной нелинейной среды.

С практической точки зрения представляет интерес сравнить характеристики солитонов, полученных как с помощью уравнений Максвелла, так и с использованием параксиального приближения на основе нелинейного уравнения Шредингера. Это позволит установить границы области применимости широко используемого параксиального приближения к задачам распространения узких световых пучков в средах с кубичной нелинейностью.

Прежде всего отметим, что члены, сосредоточенные в левых частях уравнений (5), появляются из-за учета непараксиальных эффектов. Они становятся пренебрежимо малыми при  $\delta = \lambda/2\pi x_0 \ll 1$  и для частот модуляции показателя преломления, для которых  $\Omega\delta = \lambda/d \ll 1$ .

При выполнении обоих неравенств система уравнений (5) может быть сведена к системе стандартных параксиальных нелинейных уравнений Шредингера заменой  $q_{x,z} \sim q_{x,z}^s \exp(i\xi/\delta^2)$ , где  $q_{x,z}^s$  —

медленно меняющиеся функции продольной координаты. Действительно, полагая левые части уравнений (5) равными нулю, затем вычисляя в правых частях величины

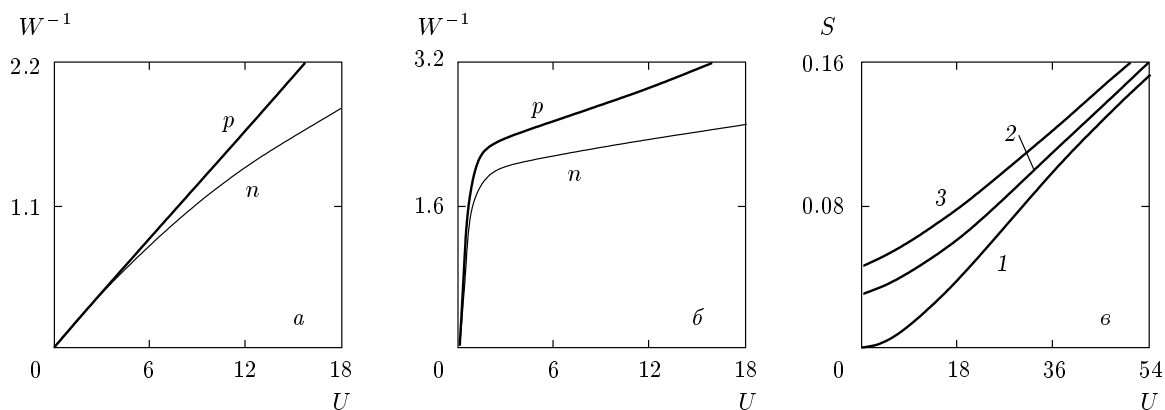
$$\delta^2 \frac{\partial^2 q_{x,z}}{\partial \xi^2} = \left( \delta^2 \frac{\partial^2 q_{x,z}^s}{\partial \xi^2} + 2i \frac{\partial q_{x,z}^s}{\partial \xi} - \frac{q_{x,z}^s}{\delta^2} \right) \exp \frac{i\xi}{\delta^2}$$

и в силу малости  $\delta$  пренебрегая первым слагаемым в круглых скобках, получаем

$$\begin{aligned} & 2i \frac{\partial q_x^s}{\partial \xi} + \frac{\partial^2 q_x^s}{\partial \eta^2} + \\ & + \frac{1}{\delta^2} [pRq_x^s + \sigma q_x^s (|q_x^s|^2 + |q_z^s|^2)] = 0, \\ & 2i \frac{\partial q_z^s}{\partial \xi} + \frac{\partial^2 q_z^s}{\partial \eta^2} + \\ & + \frac{1}{\delta^2} [pRq_z^s + \sigma q_z^s (|q_x^s|^2 + |q_z^s|^2)] = 0. \end{aligned} \tag{13}$$

Теперь используем параксиальное приближение и определим профили решеточных солитонов с помощью первого уравнения (13) для поперечной компоненты электрического поля волны. Такие профили показаны на рис. 1г-е. Хорошо видно, что профиль маломощного параксиального солитона с рис. 1г значительно уже, чем профиль непараксиального солитона с рис. 1а той же мощности. В то же время, параксиальный солитон с рис. 1д с такой же шириной, как у непараксиального солитона с рис. 1а, обладает меньшей мощностью. С увеличением мощности солитонов (ср. рис. 1б и 1е) разница в их ширинах становится меньше.

Установлено, что мощность непараксиального решеточного солитона является монотонно нарастаю-



**Рис. 5.** Обратная ширина солитона как функция его мощности в однородной нелинейной среде (а) и при наличии периодической решетки показателя преломления с  $p = 0.2$ ,  $\Omega = 4$  (б). Кривые, помеченные символом « $p$ », получены в параксиальном приближении с помощью скалярного уравнения Шредингера; кривые, помеченные символом « $n$ », вычислены с помощью системы уравнений (5). в — Отношение мощностей продольной и поперечной компонент поля как функция полной мощности для  $\Omega = 0$  (1), 2 (2), 3 (3) при  $p = 0.2$ . Во всех случаях  $\delta = 0.1$

шей функцией постоянной распространения  $b$ , поэтому  $dU/db > 0$  (рис. 4а). Это дает основание предположить устойчивость всей ветви, хотя, разумеется, нельзя однозначно утверждать, что критерий Вахитова–Колоколова в этом случае может быть использован.

Мощность солитона обращается в нуль при значении  $b = b_{co}$ , называемом отсечкой по постоянной распространения. При фиксированной глубине решетки отсечка оказывается несколько меньше для непараксиальных солитонов, чем для их параксиальных решеточных аналогов (ср. кривые, помеченные « $p$ » и « $n$ » на рис. 4а).

Для маломощных (широких) солитонов величина  $W$  быстро уменьшается с ростом постоянной распространения  $b$  (см. рис. 3, 4б), при этом, как отмечалось выше, при одинаковой мощности параксиальный солитон значительно уже непараксиального. У мощных солитонов, для которых  $b \gg b_{co}$ , их ширина  $W$  медленно убывает с увеличением  $U$ .

Таким образом, в области  $0 < b < b_0$  (в нашем случае характерная постоянная распространения  $b_0 \approx 0.05$ ) эти два подхода дают сильно различающиеся результаты по ширине  $W$  при приблизительно одинаковой мощности пучков. В области  $b > b_0$  это различие в ширинах при одинаковом  $b$  невелико. Однако мощность непараксиального пучка заметно превышает мощность параксиального пучка вследствие появления продольной компоненты поля. Значение  $b_0$  приблизительно вдвое превышает отсечку  $b_{co}$ . Эта величина, в свою очередь, монотонно возрастает с увеличением глубины модуляции решетки

(рис. 4в).

Основные результаты данной работы проиллюстрированы на рис. 5, где изображены зависимости обратной ширины солитона  $W^{-1}$  от мощности  $U$  для параксиальной и непараксиальной моделей. Хорошо известно, что в отсутствие решетки ширина параксиального солитона, описываемого кубичным уравнением Шредингера, обратно пропорциональна его мощности. Поэтому соответствующая зависимость  $W^{-1}(U)$ , показанная на рис. 5а, является линейной.

Однако при учете непараксиальных эффектов ширина непараксиального солитона с той же самой мощностью оказывается несколько большей, чем ширина параксиального солитона. Это происходит из-за появления продольной компоненты поля, которая с увеличением мощности становится все более четко выраженной. Вследствие этого, разница между зависимостями  $W^{-1}(U)$  для параксиальных и непараксиальных солитонов увеличивается с ростом  $U$  (рис. 5а).

Данная картина заметно меняется при наличии периодической решетки показателя преломления (рис. 5б). Продольная компонента поля в решетке может быть весьма значительной даже при малых мощностях, когда ширина солитона достаточно велика. В этом случае сама решетка приводит к появлению мелкомасштабных осцилляций на профиле широкого солитона (рис. 1а). Поэтому кривые  $W^{-1}(U)$  для параксиальных и непараксиальных солитонов начинают заметно различаться при существенно меньших значениях мощности, чем в однородной нелинейной среде.

Подобное различие становится еще более заметным с увеличением частоты  $\Omega$  пространственной модуляции показателя преломления и параметра непараксиальности  $\delta$ , поскольку, в соответствии с формулой (11), возрастает продольная компонента светового поля.

Таким образом, применимость параксиального приближения напрямую связана с относительным вкладом продольной компоненты, величина которой может быть оценена соотношением (7). Последнее утверждение наглядно проиллюстрировано на рис. 5в, на котором показаны зависимости соотношения мощностей  $S = U_z/U_x$ , сосредоточенных в продольной и поперечной компонентах, от полной мощности солитона.

Очевидно, что для параксиального приближения  $S \equiv 0$ . В отсутствие решетки ( $\Omega = 0$ ) продольная компонента исчезает при  $U \rightarrow 0$  (солитон становится очень широким) и монотонно растет с увеличением  $U$ . Чем больше величина  $S$ , тем хуже соответствие между параксиальным и непараксиальным подходами, поскольку с ростом  $S$  возрастает и различие между кривыми  $W^{-1}(U)$ , характеризующими связь между параметрами солитона.

По мере увеличения частоты решетки соотношение мощностей продольной и поперечной компонент становится отличным от нуля даже при  $U \rightarrow 0$ . Это свидетельствует о том, что при малых мощностях «решеточные» эффекты доминируют над нелинейными, и увеличение частоты решетки приводит к возрастанию относительной мощности продольной компоненты поля. Однако с увеличением полной мощности  $U$  относительное влияние решетки становится все слабее, и кривые  $S(U)$  для разных пространственных частот постепенно сближаются.

#### 4. ВЫВОДЫ

В нелинейных средах с периодической модуляцией показателя преломления возможно формирование пространственных солитонов, в ряде случаев обладающих значительной продольной компонентой светового поля. Одновременное проявление линейной и нелинейной рефракции может приводить к значительным уменьшениям интегральной ширины солитона (по сравнению с однородной средой). Параксиальное приближение может приводить к существенным погрешностям как при сильной нелинейной рефракции, когда ширина солитона приближа-

ется к длине волны, так и в случае широких солитонов в мелкомасштабных решетках показателя преломления.

#### ЛИТЕРАТУРА

1. Э. Инфельд, Дж. Роуландс, *Нелинейные волны, солитоны и хаос*, Физматлит, Москва (2005) [E. Infeld and G. Rowlands, *Nonlinear Waves, Solitons, and Chaos*, Cambridge Univ. Press, Cambridge (1990)].
2. Н. Н. Ахмедиев, А. Анкевич, *Солитоны: нелинейные импульсы и пучки*, Физматлит, Москва (2003) [N. N. Akhmediev and A. Ankiewicz, *Solitons: Nonlinear Pulses and Beams*, Chapman & Hall, London (1997)].
3. Ю. С. Кившарь, Г. П. Агравал, *Оптические солитоны. От волоконных световодов до фотонных кристаллов*, Физматлит, Москва (2005) [Y. Kivshar and G. Agrawal, *Optical Solitons: From Fibers to Photonic Crystals*, Acad. Press, London (2003)].
4. М. J. Ablowitz, В. Prinari, and A. D. Trubatch, *Discrete and Continuous Nonlinear Schrödinger Systems*, Cambridge Univ. Press, Cambridge (2004).
5. M. D. Feit and J. A. Fleck, Jr., *J. Opt. Soc. Amer. B* **5**, 633 (1988).
6. S. Blair and K. Wagner, *Opt. Quant. Electron.* **30**, 697 (1998).
7. Н. Н. Розанов, *Опт. и спектр.* **94**, 1013 (2003).
8. S. Chi and Q. Guo, *Opt. Lett.* **20**, 1598 (1995).
9. B. Crosignany, P. Di Porto, and A. Yariv, *Opt. Lett.* **22**, 778 (1997).
10. E. Granot et al., *Opt. Lett.* **22**, 1290 (1997).
11. Н. Н. Розанов, Н. В. Высотина, А. Г. Владимиров, *ЖЭТФ* **118**, 1307 (2000).
12. R. de la Fuente et al., *Opt. Comm.* **173**, 403 (2000).
13. N. N. Rosanov, V. E. Semenov, and N. V. Vyssotina, *J. Opt. B: Quantum Semiclass. Opt.* **3**, S96 (2001).
14. A. Ciattoni et al., *Opt. Lett.* **27**, 734 (2002).
15. L. Brzozowski et al., *Appl. Phys. Lett.* **82**, 4429 (2003).
16. A. M. Akulshin et al., *J. Opt. B: Quantum Semiclass. Opt.* **6**, 491 (2004).